

Ergänzung zum Beitrag in FA 9/19, S. 838 ff. „Versuch der Effizienzabschätzung von KW-Mobilantennen durch RBN“

Ergänzend zum Beitrag präsentieren wir hier auf zwei Seiten noch einige Bilder, die in der gedruckten Ausgabe leider keinen Platz mehr fanden.

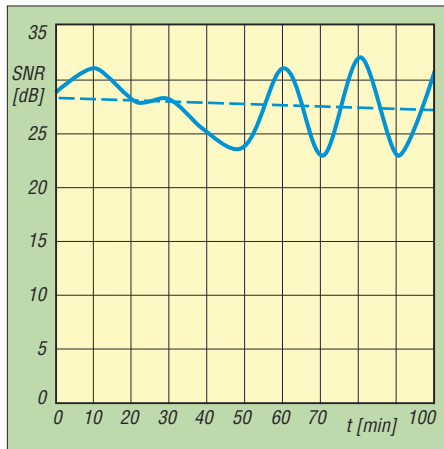


Bild 1: Verlauf der SNR-Werte am Standort der RBN-Empfangsstation 9A1CIG in 761 km Entfernung auf 40 m; Messungen im 10-min-Abstand, Beginn am 14. 10. 2018 um 1415 UTC

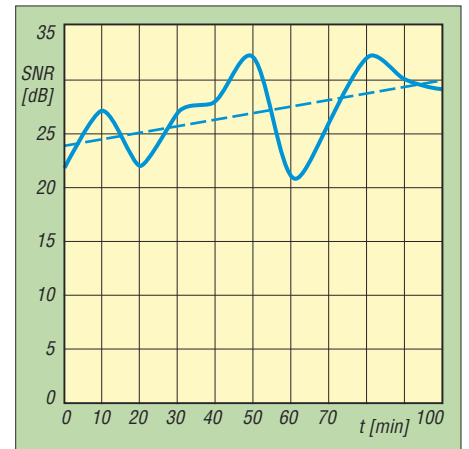


Bild 2: Verlauf der SNR-Werte am Standort der RBN-Empfangsstation DL9GTB in 804 km Entfernung unter den gleichen Messbedingungen wie in Bild 1

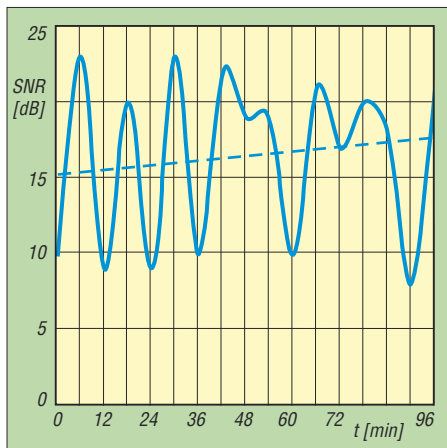


Bild 3: Verlauf der SNR-Werte am Standort der RBN-Empfangsstation HA6PX in 864 km Entfernung unter den gleichen Messbedingungen wie in Bild 1 in 6-min-Abständen

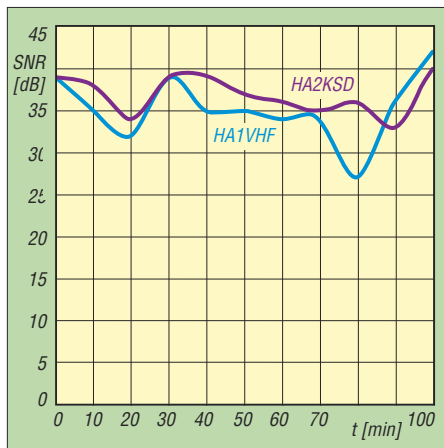


Bild 4: Verlauf der SNR-Werte am Standort zweier RBN-Empfangsstation in Ungarn in etwa 670 km Entfernung unter den gleichen Messbedingungen wie in Bild 1

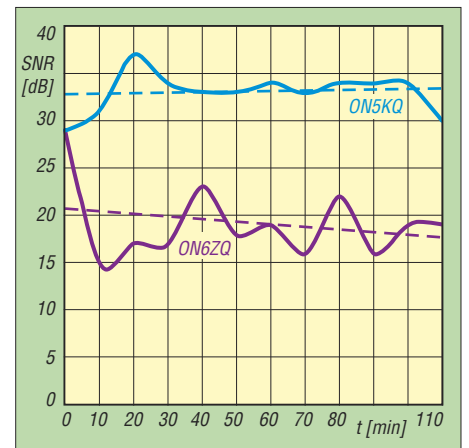


Bild 5: Verlauf der SNR-Werte am Standort zweier RBN-Empfangsstation in Belgien in etwa 500 km Entfernung unter den gleichen Messbedingungen wie in Bild 1

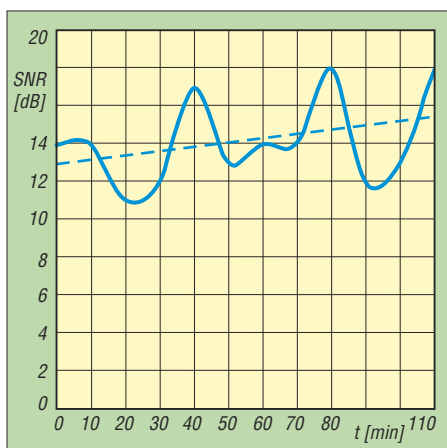


Bild 6: Verlauf der SNR-Werte am Standort der RBN-Empfangsstation PA1T in 663 km Entfernung unter den gleichen Messbedingungen wie in Bild 1

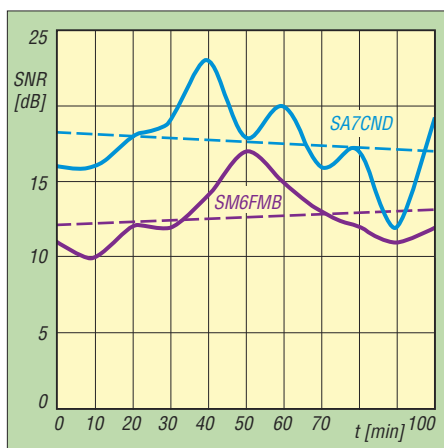


Bild 7: Verlauf der SNR-Werte am Standort zweier RBN-Empfangsstation in Schweden in etwa 1160 km Entfernung unter den gleichen Messbedingungen wie in Bild 1

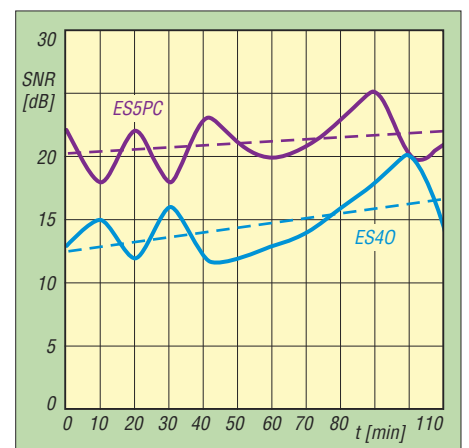


Bild 8: Verlauf der SNR-Werte am Standort zweier RBN-Empfangsstation in Estland in etwa 1740 km Entfernung unter den gleichen Messbedingungen wie in Bild 1

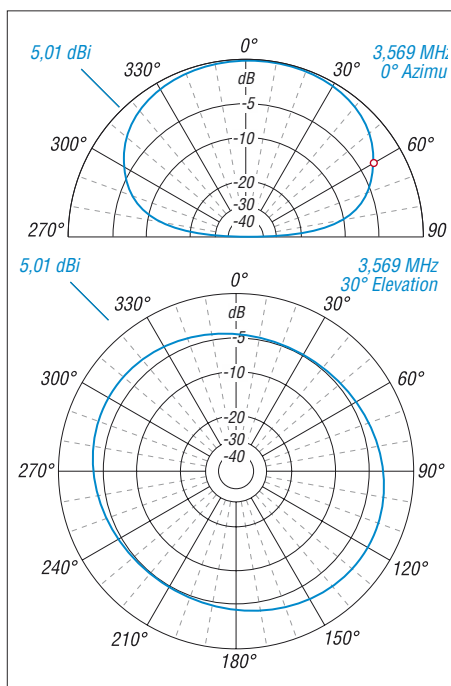


Bild 9: Vertikales und horizontales Strahlungsdiagramm des 2 x 36-m-Dipols im 80-m-Band über realem Grund ($\sigma = 5 \text{ mS/m}$, $\epsilon_r = 13$)

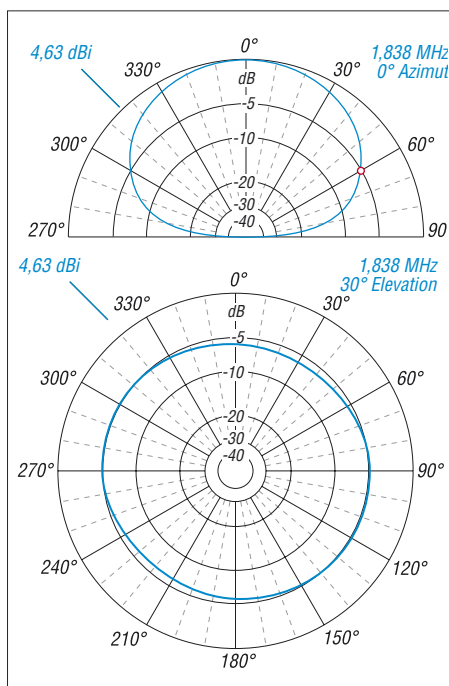


Bild 10: Vertikales und horizontales Strahlungsdiagramm des 2 x 36-m-Dipols im 160-m-Band über realem Grund ($\sigma = 5 \text{ mS/m}$, $\epsilon_r = 13$)